

## بررسی رفتار دینامیکی غیرخطی دیوار برشی فولادی با ورق نازک دارای اتصال تیر به ستون صلب تحت نگاشت‌های دور و نزدیک گسل\*

مجید قلهکی<sup>(۱)</sup>هوشنگ اصغری تکدام<sup>(۲)</sup>

**چکیده** با توجه به پیشرفت‌های اخیر، محققتان شاهد اثرات متفاوت زلزله‌های نزدیک گسل نسبت به زلزله‌های دور از گسل بوده‌اند. در این مقاله سازه‌های کوتاه، میان و بلند مرتبه که در آن‌ها از سیستم دیوار برشی فولادی با ورق نازک دارای اتصال صلب استفاده شده است، تحت نگاشت‌های دور و نزدیک گسل مورد آنالیز دینامیکی غیرخطی قرار گرفته و با یکدیگر مقایسه گردیده‌اند. نتایج نشان می‌دهد که در سازه‌های کوتاه و میان مرتبه ۳ و ۷ طبقه (تا پریود ۰/۶۷ ثانیه) اثر حرکات حوزه‌ی دور از گسل بر پارامترهای پاسخ سازه به‌طور میانگین ۱۱ و ۳۷ درصد بیشتر از اثر حرکات حوزه‌ی نزدیک گسل بوده است و در سازه‌های بلند مرتبه ۱۵ و ۲۵ طبقه (با پریود بیش از ۰/۶۷ ثانیه) اثر حرکات نزدیک گسل بر پارامترهای پاسخ سازه به‌طور میانگین ۶۰ و ۴۶ درصد بیشتر از حرکات حوزه‌ی دور از گسل است.

**واژه‌های کلیدی** دیوار برشی فولادی با ورق نازک، اتصال صلب، زلزله‌ی نزدیک گسل، دور از گسل، تحلیل دینامیکی غیرخطی.

## Investigation on Nonlinear Dynamic Behavior of Thin Steel Plate Shear Walls with Rigid Beam to Column Connections under Far and Near Fault Earthquakes

M. Ghohkaki

H. Asghari Takdam

**Abstract** Considering recent developments in earthquake engineering, researchers has detected different effects of earthquakes far and near from the fault. Investigations that have been done in this area show that near fault earthquakes have shorter time period comparing far fault earthquakes and in the velocity of near fault earthquakes, there are one or more impacting pulses with a big domain and period that are result of forward directivity. The pulse movement, impressing massive energy in a short time in near fault earthquakes, result in rotating ductility in some stories and joints, brittle failure of joints, immediate destruction of structure and soft story that have observed in Kobe earthquake in 1995 and Northridge earthquake in 1994. On the other hand in the latest four decades, steel plate shear walls have been considered as a resistant system against lateral loads (wind or earthquake) and have been used in construction of modern buildings and retrofit of existing buildings in the world. This system has appropriate stiffness for controlling displacement of structures. In this paper tall, medium and short buildings that the SPSW with rigid connections has used in their structures are investigated in far and near fault earthquakes. They have analyzed with nonlinear dynamic method and have compared with each other. Results show that in short and average buildings the steel plate shear wall with rigid beam to column connection (up to  $T=0.67s$ ), effect of movement of far from fault zone on the response parameters are 11% to 37% more than those of near fault and in the tall structures ( $T>0.67s$ ) effect of near fault movements on the response parameters is about 46% to 60% more than those in the far fault zone.

**Key Words** Thin Steel Plate Shear Wall, Rigid Connection, Near Fault Earthquake, Far from the Fault, Nonlinear Dynamic Analysis.

\*تاریخ دریافت مقاله ۹۱/۵/۳۱ و تاریخ پذیرش آن ۹۱/۱۲/۲۷ می‌باشد.

(۱) نویسنده‌ی مسئول: استادیار دانشکده‌ی مهندسی عمران، دانشگاه سمنان.

(۲) دانش آموخته‌ی کارشناس ارشد زلزله، دانشگاه سمنان.

ولی (۱۹۷۹) مورد بررسی قرار دادند. نتایج نشان داد که افزایش نسبت پریود پالس حرکت زمین به پریود طبیعی سازه و همچنین افزایش نسبت شتاب زمین به مقاومت تسلیم سازه، موجب افزایش پاسخ غیرخطی و خسارات وارد به سازه می‌شود. علاوه بر این تمرکز تغییرشکل‌ها در طبقات پایین ساختمان، که ستون‌های آن بار محوری زیادی را تحمل می‌کنند، موجب اعمال اثر پی - دلتا در طبقات پایین می‌شود. بنابراین خسارات ناشی از حرکت‌های ضربه‌ای زمین در طبقات پایین ساختمان مرکز می‌شود. همچنین برای سازه‌های صلب در زلزله‌ای نزدیک گسل نیاز شکل‌پذیری افزایش می‌یابد.

در سال ۱۹۹۷ هال [2] به مطالعه‌ی دو ساختمان ۶ و ۲۰ طبقه‌ی فولادی که بر اساس دو آئین‌نامه‌ی UBC94 و مقررات ساختمانی ژاپن طرح شده بودند، پرداخت. در این تحقیق رفتار غیرخطی سازه همراه با رفتار اتصالات در زلزله‌های نزدیک گسل نژادی (۱۹۹۴)، کوبه (۱۹۹۵) و نگاشتهای آن‌ها مورد بررسی قرار گرفت. همچنین برای بررسی محدوده‌ی نزدیک گسل در منطقه‌ی زلزله‌خیز، حوزه‌ی لرزه‌خیز به صورت شبکه‌هایی تقسیم شد و در هر گره اثر نگاشتهای نزدیک گسل، بر روی رفتار سازه‌ها مورد بررسی قرار گرفت که بر این اساس نتایج نشان داد که با مقایسه‌ی حداقل پارامترهای زلزله (حداقل شتاب، سرعت و تغییرمکان زمین) خسارت وارد به ساختمان‌ها، بیشترین ارتباط را با اوج تغییرمکان زمین دارد. همچنین مقایسه‌ی رفتار این دو ساختمان نشان داد که تغییر مکان‌های نسبی در ساختمان ۶ طبقه بیشتر از ساختمان ۲۰ طبقه است. این در حالی است که نسبت مقاومت جانبی ساختمان ۶ طبقه به وزن آن، از ساختمان ۲۰ طبقه بزرگ‌تر است.

علوی و کراولینکلر [3] در سال ۲۰۰۱ دریافتند که پاسخ سازه در زلزله‌های نزدیک گسل بر روی اثرات

## مقدمه

وقوع زمین‌لرزه‌های بزرگ در نزدیک شهرهای که در مجاورت گسل‌ها قرار گرفته‌اند، غیرقابل انکار است. چنان‌چه این زمین‌لرزه‌ها تحت اثرات پیشرونده قرار بگیرند، در تاریخچه زمانی جایه‌جایی، سرعت و شتاب آن‌ها پالس‌های مشخصی دیده می‌شود که سازه را تحت تأثیر شدید و سریع قرار می‌دهد.

دیوار برپشی فولادی در چهار دهه‌ی اخیر به عنوان یک سیستم مقاوم در برابر بارهای جانبی در ساخت ساختمان‌های جدید و تقویت ساختمان‌های موجود (به خصوص در ساختمان‌های بلند مرتبه) مورد استفاده قرار گرفته است. این سیستم دارای سختی مناسب برای کنترل تغییرشکل سازه می‌باشد و در آن به دلیل وجود مکانیزم شکست شکل‌پذیر، اتلاف انرژی بالا است. تحقیقات جدید نشان می‌دهد که اثر زلزله‌های نزدیک گسل بر روی ساختمان‌ها با اثر زلزله‌های دور از گسل متفاوت است. نگاشتهای نزدیک گسل دارای مدت زمان مؤثر کمتری نسبت به نگاشتهای دور از گسل بوده است و در نگاشتهای سرعت نزدیک گسل، یک یا چند پالس ضربه‌ای با دامنه‌ی بزرگ و دوره‌ی تناب بزیاد وجود دارد که ناشی از اثرات جهت‌پذیری پیشرونده‌ی شکست است. این پالس‌ها در مؤلفه‌ی افقی عمود بر گسل دیده می‌شوند. حرکت پالس‌گونه باعث اعمال انرژی زیاد (در مدت زمان کوتاه) و ضربه‌گونه‌ی زلزله‌های نزدیک گسل بر روی سازه می‌شود. این مسئله باعث ایجاد دوران زیاد در بعضی طبقات و گسیختگی ترد اتصالات می‌شود و ایجاد طبقه نرم و تخریب آنی سازه را در بر دارد. علاوه بر این زلزله‌های نزدیک گسل تغییرمکان‌های نسبی بزرگ‌تری در سازه ایجاد می‌کنند و تمرکز تغییرشکل‌ها در طبقات پایین باعث افزایش اثر پی - دلتا در آن می‌شود.

در سال ۱۹۸۷ اندرسون و برترو [1] یک قاب فولادی سه دهانه‌ی ده طبقه را تحت زلزله‌ای امپریال-

افزایش ابعاد بازشوها به صورت خطی کاهش می‌باید. هم‌چنین با استفاده از یک مدل ساده‌ی ریاضی، آنالیز دینامیکی دیوارهای برشی فولادی مورد بررسی قرار گرفت.

در سال ۱۹۹۹، رضائی [9] یک آزمایش روی میز لرزان انجام داد. نمونه مورد آزمایش یک دیوار برشی فولادی چهار طبقه بود. نمونه در معرض حرکت شبیه‌سازی شده بر اساس یک رکورد زلزله قرار گرفت. ظرفیت محدود میز لرزان مانع از پاسخ غیرالاستیک نمونه شد؛ بنابراین بحث و بررسی پژوهشگران عمدتاً بر روی پاسخ سیستم در محدوده‌ی الاستیک متمرکز شد. هم‌چنین مدل نواری چندجهته برای تحلیل این سیستم در مقابل مدل نواری موازی با هم توسط وی ارائه شد.

لوبل و همکاران [10] در سال ۲۰۰۰ دیوارهای برشی فولادی را با استفاده از مدل نواری تحلیل کردند و در آن به بحث تعداد نوار مورد نیاز و زاویه‌ی آنها پرداختند.

در سال ۲۰۰۱، آستانه‌ی اصل و ژائو [11] دو نمونه دیوار برشی فولادی سه‌طبقه با ارتفاع کلی ۶/۲ متر را تحت بارگذاری چرخه‌ای بررسی کردند. نمونه‌ها شامل نصف یک دیوار برشی فولادی کوپله و ستون‌های فولادی دایروی توخالی با بتون پرشه بودند. نمونه‌ها شکل پذیری خوب و رفتار هیسترزیس پایدار را به همراه جذب انرژی مناسب از خود نشان دادند.

در سال ۲۰۰۸، قلهکی [16] دو نمونه دیوار برشی فولادی شکل پذیر سه‌طبقه دارای ورق نازک با مقیاس یک‌سوم تحت بارگذاری دوره‌ای را مورد آزمایش قرار داد. دیوارهای مذکور دو نوع اتصال تیر به ستون صلب و ساده داشته و در ورق پانل‌ها و ستون‌ها به ترتیب از فولاد نرم و پر مقاومت استفاده شده بود. هر کدام از نمونه‌های با اتصال صلب و ساده به ترتیب تحت ۳۱ و

بزرگ‌تر مؤلفه‌ی افقی عمود بر گسل متمرکز گردیده است. هر چند مواردی است که در آن‌ها مؤلفه‌ی حرکت موازی گسل نیز مهم است. برای مثال نرم شدن خاک در پاسخ به مؤلفه حرکت بزرگ عمود بر گسل باعث کرنش بیشتری در جهت موازی گسل می‌شود. در این حالت خاک در مقابل مؤلفه‌ی حرکتی موازی گسل از خود پاسخ نشان می‌دهد.

در سال ۱۹۸۳، تیملر و کولاك [4] یک دیوار برشی فولادی یک طبقه را به منظور ارزیابی مدل تحلیلی آزمایش کردند. نمونه به صورت استاتیکی تحت سه دوره‌ی کامل و تا رسیدن به حد تغییر مکان ۷/۲۵ میلی‌متر تحت بارگذاری قرار گرفت. در خلال این دوره‌های بارگذاری، نمونه رفتار الاستیک از خود نشان داد. پس از آن، نمونه در یک جهت و تا حداقل ظرفیت خود تحت بار یک‌جهته قرار گرفت. در این آزمایش هیچ گونه بار محوری بر روی ستون‌ها وارد نشد.

در سال‌های ۱۹۹۱ و ۱۹۹۲، صبوری و رابرتز [5]، [6] و رابرتز و صبوری [7]، [8]، ۱۲ نمونه پانل برشی کوچک مقیاس را که دارای ورق نازک به ابعاد  $۳۰۰ \times ۳۰۰$  میلی‌متر و  $۴۵۰ \times ۳۰۰$  میلی‌متر بودند، تحت بارگذاری چرخه‌ای آزمایش کردند. ورق‌های به کار رفته با ضخامت  $۰/۵۴$  و  $۰/۸۳$  میلی‌متر از جنس فولاد نرم و فولاد ساختمانی و با ضخامت  $۱/۲۳$  میلی‌متر از جنس آلومینیوم بودند. قاب محیطی (شامل تیرها و ستون‌ها) به کمک مفصل به صورت کاملاً لولایی اجرا شد. هر نمونه، تحت بار کششی و فشاری بر روی دو قطر مخالف، که در گوشه‌های آن وارد می‌شد، تحت بارگذاری چرخه‌ای قرار گرفت. یکی از نتایج خوب برنامه‌ی تحقیقاتی صبوری، بررسی اثر بازشوها بر روی مقاومت و سختی پانل‌های برشی بود. او نتیجه‌گیری کرد که مقاومت و سختی پانل‌های برشی با

اثر پی- دلتا روی تقاضای لرزه‌ای در برش و خمش بررسی شد. تحلیل لرزه‌ای غیر اجتماعی نشان داد روش ضریب پایداری موجود در آئین نامه ساختمانی کانادا برای محاسبه اثرات پی- دلتا در دیوار برشی فولادی خیلی محافظه‌کارانه بوده است و اثرات پی- دلتا روی تقاضای لرزه‌ای، خیلی کوچک می‌باشد. هم‌چنین اضافه مقاومت زیاد صفحات میانقاب اثر قابل توجهی در شکل‌پذیری سیستم ندارد.

سجادی و صبوری در سال ۲۰۱۱ [17] به بررسی میزان نیاز سخت‌کننده‌های مورد نیاز دیوار برشی فولادی برای جلوگیری از کمانش کلی پرداختند.

همان‌طور که در بررسی زلزله‌های حوزه‌ی نزدیک و مطالعات سیستم دیوار برشی فولادی مشاهده شد، تاکنون رفتار این سیستم تحت زلزله‌های نزدیک گسل مورد مطالعه قرار نگرفته است. با توجه به ماهیت زلزله‌های نزدیک گسل و اعمال انرژی زیاد در مدت زمان کوتاه توسط این زلزله‌ها و عملکرد مناسب سیستم دیوار برشی فولادی، بنظر می‌رسد این سیستم بتواند عملکرد مناسب‌تری نسبت به دیگر سیستم‌های مقاوم در این حوزه‌ی داشته باشد که در مقاله‌ی حاضر به آن پرداخته می‌شود.

### فرضیات تحلیل و مدل‌های سازه‌ای

به‌منظور بررسی اثرات زلزله‌های نزدیک و دور از گسل و مقایسه‌ی تأثیر آن‌ها، چهار قاب دیوار برشی فولادی با ورق نازک دارای اتصال تیر به ستون صلب که در آن‌ها از مدل نواری استفاده شده است مدل‌سازی شدند. مدل‌های سازه‌ای شامل قاب‌های پنج دهانه‌ی ۳، ۷، ۱۵ و ۲۵ طبقه بوده است که دهانه‌ی میانی آن‌ها از ورق نازک پر شده است و اتصال تیر به ستون آن‌ها صلب می‌باشد.

قاب ۳ طبقه نماد ساختمان‌های کوتاه‌مرتبه،

۱۹ دوره بارگذاری قرار گرفتند. قبل از خرابی نمونه و پایان آزمایش، تغییر مکان طبقه‌ی اول نمونه‌های با اتصال صلب و ساده به ترتیب به ۱۰ و ۱۱ برابر تغییر مکان اولین تسلیم شدگی آن‌ها رسید. نمونه‌ها شکل‌پذیری عالی (به ترتیب ۶/۶۳ و ۸/۲۴)، سختی اولیه‌ی زیاد و جذب انرژی بالایی داشتند و حلقه‌های هیسترزیس آن‌ها رفتار پایداری را نشان دادند. استفاده از فولاد نرم در ورق پانل‌ها باعث جذب انرژی فوق العاده‌ای در تغییر مکان‌های بزرگ شد. علاوه بر این، در خلال آزمایش‌ها و تا پایان آن‌ها هیچ‌گونه علائمی از کمانش موضعی یا کلی در ستون‌ها دیده نشد. نتایج نشان داد که نوع اتصال تیر به ستون بر روی ضریب شکل‌پذیری، مقاومت و جذب انرژی تأثیرگذار بوده است؛ ولی تأثیر قابل ملاحظه‌ای بر روی سختی اولیه ندارد.

در سال ۲۰۰۸، انجان و همکاران [12] پاسخ‌های لرزه‌ای غیرخطی دو دیوار برشی فولادی ۴ و ۱۵ طبقه را مورد مطالعه قرار دادند. برش و خمش دینامیکی با روش طراحی لرزه‌ای CAN/CSA-S16-01 مقایسه و مشاهده شد که نیروی برش پایه‌ی دینامیکی و لنگر واژگونی در دیوار برشی فولادی و به همان اندازه واژگونی در ستون‌ها، در طرح لرزه‌ای موجود، دست پایین محاسبه شده‌اند. اثر نرخ بارگذاری بر روی رفتار دینامیکی دیوار برشی فولادی نیز بررسی شد. تحلیل‌های دینامیکی غیرخطی تحت چهار رکورد زمین‌لرزه که عبارتند از: مؤلفه N-S زمین لرزه ۱۹۴۰ الستترو، رکورد ثبت شده در ایستگاه پترولیا زمین لرزه ۱۹۹۲ من دسینو، رکورد زمین لرزه ۱۹۶۶ پارک فیلد و رکورد زمین لرزه ۱۹۸۵ ناهانی کانادا، نشان می‌دهند که نرخ بارگذاری، تقاضای خمشی را در پایه دیوار برشی فولادی افزایش می‌دهد و آهنگ بارگذاری تأثیر کمی روی تقاضای لرزه‌ای غیر اجتماعی در مجموعه‌ای از طیف سازگار با رکوردهای زلزله و نکور دارد. هم‌چنین

پواسون ۰/۳ و مدول الاستیسیته ۲۱۰ گیگاپاسکال استفاده شده و بر این اساس مقاطع تیر و ستون طراحی شده در جدول (۲) خلاصه شده و در شکل (۱) نشان داده شده است.

محاسبه ضخامت ورق و اعضای مرزی (تیرها و ستونها) دیوارهای برشی فولادی با ورق نازک آئین نامه فولاد کانادا (CAN/CSA-S16-01) [۱۳] و آئین نامه فولاد امریکا (AISC ۲۰۰۵) [۱۴]، دیوار برشی فولادی را به عنوان یک سیستم باربر جانبی پذیرفته‌اند. در این آئین نامه‌ها به منظور طراحی دیوارهای برشی فولادی با ورق نازک، ابتدا طراحی اولیه مقاطع تیر، ستون و ورق دیوارها مشابه یک خرپای قائم با مهاربندی‌های صرفاً کششی انجام می‌شود. بر این اساس به جای هر ورق فولادی، یک بادبند معادل در نظر گرفته می‌شود.

پس از تعیین سطح مقطع هر مهاربند (براساس روابط انرژی کرنشی الاستیک)، ضخامت ورق فولادی از رابطه (۱) محاسبه می‌شود:

$$t = \frac{2A_b \Omega \sin \theta}{L \sin 2\alpha} \quad (1)$$

که در آن  $\Omega$  ضریب اضافه مقاومت است و برای دیوارهای برشی فولادی برابر ۱/۲ در نظر گرفته می‌شود،  $\theta$  زاویه‌ی بین مهاربند و ستون،  $L$  عرض دهانه‌ی قاب و  $A_b$  سطح مقطع مهاربند معادل است. زاویه‌ی تشکیل میدان کشش قطری در ورق فولادی است که از رابطه (۲) به دست می‌آید:

$$\tan^4 \alpha = \frac{1 + \frac{tL}{2A_c}}{1 + \text{th} \left( \frac{1}{A_g} + \frac{h^3}{360I_c L} \right)} \quad (2)$$

قاب ۷ طبقه نماد ساختمان‌های میان مرتبه و قاب‌های ۱۵ و ۲۵ طبقه نماد ساختمان‌های بلند مرتبه می‌باشد و قاب‌ها مربوط به یک پلان مربع شکل هستند که عرض دهانه‌ها ۵ متر و ارتفاع طبقات ۳/۲ متر است.

برای بارگذاری ثقلی با استفاده از آئین نامه مبحث ششم مقررات ملی ساختمان [۱۸]، کاربری ساختمان‌ها، مسکونی و شدت بار مرده‌ی طبقات و بام، بار زنده‌ی طبقات و بار زنده‌ی بام به ترتیب ۵۰۰، ۲۰۰ و ۱۵۰ کیلوگرم بر مترمربع در نظر گرفته شد. توزیع نیروی ۲۸۰۰ جانبی در ارتفاع ساختمان براساس استاندارد زلزله ایران [۱۹] و با فرض نوع زمین تیپ ۳، شتاب ۰/۳۵ طرح، ضریب اهمیت ۱ و ضریب رفتار ۸ (بر اساس آئین نامه AISC) انجام و برش پایه مطابق جدول (۱) محاسبه گردید.

در جدول (۱) نام قاب‌های دارای دیوار برشی فولادی (Steel Plate Shear Wall) برای تعداد طبقات ۳، SPSW-۷، ۱۵، ۷ و ۲۵ طبقه به ترتیب با SPSW-۳، SPSW-۱۵ و SPSW-۲۵ نام‌گذاری شده است.

مطابق آئین نامه‌ی ۲۸۰۰ زلزله‌ی ایران،  $W$  بار مؤثر ساختمان در زلزله،  $DL$  مجموع بار مرده،  $LL$  مجموع بار زنده،  $T$  پریود طبیعی سازه،  $H$  ارتفاع ساختمان،  $C$  ضریب زلزله،  $A$  نسبت شتاب مبنای طرح به شتاب زمین،  $B$  ضریب بازتاب ساختمان،  $I$  ضریب اهمیت ساختمان،  $R$  ضریب رفتار ساختمان،  $V$  برش پایه‌ی کل ساختمان و  $F_t$  نیروی جانبی اضافی وارد بر ساختمان است.

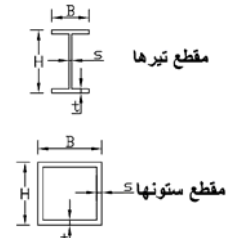
پس از بارگذاری، قاب‌ها بر اساس آئین نامه AISC-LRFD طراحی و با ضوابط مبحث دهم مقررات ملی ساختمان ایران (طرح و اجرای ساختمان‌های فولادی) [۲۰] کنترل شدند. در طراحی‌ها از فولاد ST۳۷ با تنش تسلیم ۲۴۰ مگاپاسکال، ضریب

جدول ۱ پارامترهای محاسبه‌ی برش پایه‌ی دیوارهای برپشی فولادی طبق استاندارد ۲۸۰۰ زلزله‌ی ایران

توضیحات	SPSW-۲۵	SPSW-۱۵	SPSW-۷	SPSW-۳	دیوار برپشی فولادی
$W = DL + 0.2LL$	۱۰۱۱۲/۵۰	۸۰۸۷/۵۰	۴۷۱۲/۵۰	۲۰۱۲/۵۰	جرم مؤثر (KN)
$T = 0.05H^{3/4}$	۰/۹۱۲	۰/۷۷۱	۰/۵۱۴	۰/۲۷۲	زمان تناوب تجربی (sec)
منطقه با خطر نسبی زیاد و زمین تیپ ۳	۲/۳۱	۲/۵۸	۲/۷۵	۲/۷۵	ضریب بازتاب (B)
$C = ABI/R$	۰/۱۱۵۳	۰/۱۲۸۹	۰/۱۳۷۵	۰/۱۳۷۵	ضریب برش پایه (C)
$V = C W$	۱۱۶۵/۸۰	۱۰۴۲/۴۱	۶۴۷/۹۷	۲۷۶/۷۷	برش پایه (KN)
$F_t = 0.07 TV$	۷۴/۴۱	۵۶/۲۸	•	•	نیروی جانبی اضافی (KN)

جدول ۲ مشخصات هندسی مقاطع تیر و ستون قاب‌ها

S (Cm)	H (Cm)	t (Cm)	B (Cm)	نوع مقطع	علامت اختصاری	S (Cm)	H (Cm)	t (Cm)	B (Cm)	نوع مقطع	علامت اختصاری
۳	۳۰	۳	۳۰	ستون	C12	۰/۸	۳۰	۱/۲	۱۵	تیر	B1
۱/۵	۳۵	۱/۵	۳۵	ستون	C13	۰/۸	۳۰	۱/۵	۱۵	تیر	B2
۲	۳۵	۲	۳۵	ستون	C14	۰/۸	۳۰	۱/۵	۲۰	تیر	B3
۲/۵	۳۵	۲/۵	۳۵	ستون	C15	۰/۸	۳۰	۲	۲۰	تیر	B4
۳	۳۵	۳	۳۵	ستون	C16	۱	۳۵	۲	۲۰	تیر	B5
۳/۵	۳۵	۳/۵	۳۵	ستون	C17	۱	۳۵	۲	۲۵	تیر	B6
۲	۴۰	۲	۴۰	ستون	C18	۱	۴۰	۲	۲۵	تیر	B7
۲/۵	۴۰	۲/۵	۴۰	ستون	C19	۱	۴۵	۲	۲۵	تیر	B8
۳	۴۰	۳	۴۰	ستون	C20	۱/۵	۴۵	۲/۵	۳۰	تیر	B9
۳/۵	۴۰	۳/۵	۴۰	ستون	C21	۱	۱۵	۱	۱۵	ستون	C1
۴	۴۰	۴	۴۰	ستون	C22	۱/۲	۲۰	۱/۲	۲۰	ستون	C2
۲	۴۵	۲	۴۵	ستون	C23	۱/۵	۲۰	۱/۵	۲۰	ستون	C3
۲/۵	۴۵	۲/۵	۴۵	ستون	C24	۲	۲۰	۲	۲۰	ستون	C4
۳	۴۵	۳	۴۵	ستون	C25	۱/۲	۲۵	۱/۲	۲۵	ستون	C5
۳/۵	۴۵	۳/۵	۴۵	ستون	C26	۱/۵	۲۵	۱/۵	۲۵	ستون	C6
۴	۴۵	۴	۴۵	ستون	C27	۲	۲۵	۲	۲۵	ستون	C7
۲	۵۰	۲	۵۰	ستون	C28	۲/۵	۲۵	۲/۵	۲۵	ستون	C8
۳	۵۰	۳	۵۰	ستون	C29	۱/۵	۳۰	۱/۵	۳۰	ستون	C9
۴	۵۰	۴	۵۰	ستون	C30	۲	۳۰	۲	۳۰	ستون	C10
۵/۵	۵۵	۵/۵	۵۵	ستون	C31	۲/۵	۳۰	۲/۵	۳۰	ستون	C11



مقطع هر نوار از رابطه‌ی (۳) به دست می‌آید:

$$A_s = \frac{L \cos \alpha + h \sin \alpha}{n} \cdot t \quad (3)$$

که در آن  $n$  تعداد نوارها است. مطالعات متعددی در زمینه تعیین تعداد نوار مورد نیاز انجام شده است که نتایج آن‌ها نشان‌دهنده‌ی کفایت ۱۰ عدد نوار مورب برای آنالیز یک دیوار برپشی فولادی با ورق نازک است [۱۰].

که در آن  $A_e$  و  $I_e$  به ترتیب سطح مقطع و ممان اینرسی ستون‌های کناری،  $h$  ارتفاع طبقه و  $A_g$  سطح مقطع تیر می‌باشد. جدول (۳) خلاصه محاسبات تعیین مهاربند معادل و ضخامت ورق را نشان می‌دهد.

برای طرح ضخامت ورق‌ها ابتدا مهاربند معادل محاسبه می‌شود و سپس براساس آن ضخامت موردنیاز ورق‌ها به دست می‌آید. پس از تعیین ضخامت، هر ورق به تعدادی نوار مورب تبدیل می‌شود که سطح

آزمایش‌های انجام شده و نتایج حاصل از مدل‌سازی‌های اجزای محدود در نرم‌افزار اجزای محدود ABAQUS استفاده شده است.

بر این اساس ابتدا مدل سه‌طبقه، مشابه نمونه‌ی آزمایش شده توسط قلهکی [۱۶] که در شکل (۲) نمایش داده شده است، ساخته شد.

در نمونه‌ی آزمایشگاهی، ستون‌ها به صورت یکپارچه و بدون هیچ‌گونه وصله ساخته شده‌اند. IPE ۱۰۰ تیرهای طبقات اول و دوم از نوع پروفیل ۱۰۰ انتخاب و تیر طبقه‌ی سوم از فولاد پر مقاومت به ضخامت جان و بال ۱۵ میلی‌متر طراحی شده است. ارتفاع جان و عرض بال این تیر به ترتیب ۲۲۰ و ۱۰۰ میلی‌متر طراحی شده است. علت انتخاب این تیر عمیق، جلوگیری از خمش نامطلوب به دلیل وجود میدان کشش قطعی نامتقارن است.

در شکل (۳) پوش نقاط ماکریم مثبت منحنی‌های چرخه‌ای مدل‌های با ابعاد مشبندی مختلف به منظور صحت‌سنگی مدل، همراه با پوش منحنی چرخه‌ای مدل آزمایشگاهی با یکدیگر مقایسه شده است که حاکی از انطباق مناسب سختی تمام مدل‌ها با یکدیگر می‌باشد اما بار تسلیم، سختی ثانویه و بار حداکثر مدل با ابعاد مشبندی ۱۰ در ۱۰ سانتی‌متر به رفتار مدل آزمایشگاهی نزدیک‌تر است بر این اساس، از این ابعاد مشبندی در تحلیل‌ها استفاده گردید. پس از حصول صحت‌سنگی، مدل‌های ۳، ۷ و ۱۵ طبقه ساخته شدند.

هر سیستم، مطابق با اجزای تشکیل‌دهنده‌ی آن، می‌تواند انواع مختلفی از المان‌ها را دارا باشد. در مدل‌سازی‌ها اگر چه اعضای مرزی را می‌توان با المان خطی Beam مدل کرد، ولی با توجه به امکان وقوع کمانش موضعی در آن‌ها، ورق و اعضای مرزی با المان Shell که یک المان چهارگرهی دو اندیابی با انتگرال‌گیری کاهش یافته است، مدل‌سازی شده‌اند. هر گره از این المان شش درجه آزادی، سه درجه انتقالی و سه درجه دورانی دارد.

با توجه به این‌که ستون‌ها ممکن است تحت تأثیر میدان کشش قطری دچار کمانش شوند، لذا ممان اینرسی ستون‌های کناری باید از رابطه (۴) تبعیت نماید.

$$I_c \geq \frac{0.00307 th^4}{L} \quad (4)$$

هم‌چنین به منظور جلوگیری از خمش تیر فوقانی دیوار برپی فولادی ناشی از اثر میدان کششی قطری نامتقارن، رابطه‌ی (۵) باید کنترل گردد:

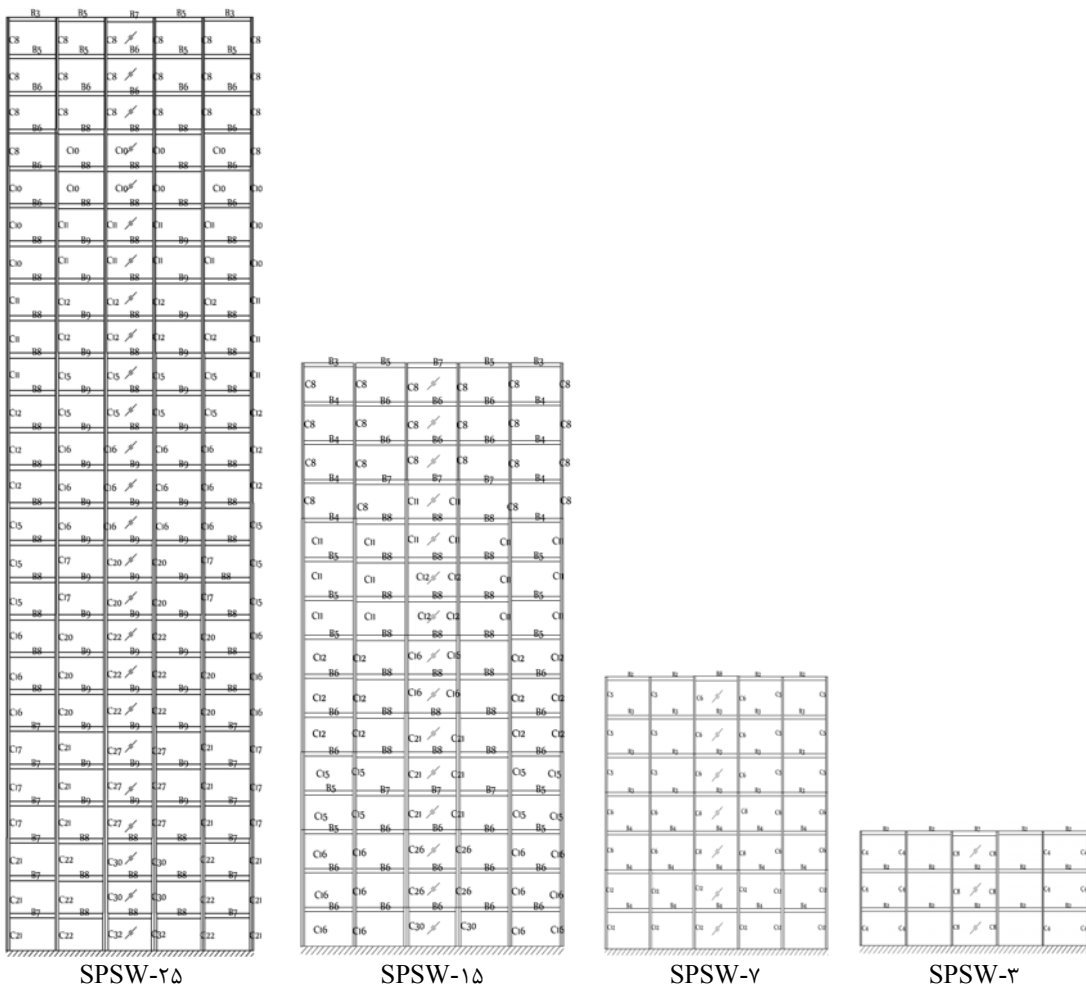
$$M_{fpb} \geq \frac{\sigma_{ty} t L^2}{8} \sin^2 \alpha \quad (5)$$

در این رابطه  $M_{fpb}$  لنگر پلاستیک مقطع تیر و  $\sigma_{ty}$  تنش نهایی میدان کشش قطری می‌باشد که برای ورق نازک فولادی تقریباً برابر تنش تسلیم آن است. با توجه به تفاوت اندک شدت میدان کشش قطری بین دو طبقه‌ی مجاور، کنترل رابطه (۵) فقط برای تیر انتهایی الزامی است، اما اگر تفاوت میدان کشش قطری بین دو طبقه‌ی مجاور نیز زیاد باشد رابطه مذکور برای تیرهای میانی نیز باید کنترل گردد. به منظور حصول اطمینان از این‌که ستون‌های دیوار بتوانند تنش‌های وارد ناشی از بارهای محیطی، به همراه تنش‌های ناشی از اثر میدان کششی را تحمل نمایند، لازم است که شرط زیر برای ستون‌ها رعایت شود:

$$M_{fpc} \geq \frac{\sigma_{ty} th^2}{4} \cos^2 \alpha \quad (6)$$

که در آن  $M_{fpc}$  لنگر پلاستیک مقطع ستون است. در زمان کنترل رابطه‌ی (۶) باید بار محوری ستون‌ها نیز در نظر گرفته شود.

**مدل‌سازی نمونه‌ها در نرم‌افزار اجزای محدود**  
در این مقاله از نتایج منحنی‌های هیستوزیس



شکل ۱ مقاطع حاصل از طراحی در مدل‌های ۳، ۷، ۱۵ و ۲۵ طبقه دیوار برشی فولادی

نسبی عبارت است از:

$$[m]\{\ddot{u}\} + [c]\{\dot{u}\} + [k]\{u\} = -[m]\{\ddot{z}\} \quad (\text{V})$$

که در آن  $[m]$  ماتریس جرم سازه،  $[c]$  ماتریس میرایی سازه،  $[k]$  ماتریس سختی سازه،  $\{u\}$  بردار شتاب گرهی،  $\{\dot{u}\}$  بردار سرعت گرهی،  $\{u\}$  بردار تغییر مکان گرهی و  $\{\ddot{x}\}$  بردار شتاب گرهی وارد از زلزله می باشد.

با توجه به پیچیدگی هندسی و رفتاری ورق فولادی هنگام کمانش خارج از صفحه و توسعه میدان کششی، روش‌های تحلیل ضمنی (Implicit) عملکردی ضعیف و واگرایی نتایج را به همراه دارد، بنابراین از روش تحلیل صریح (Explicit) در تحلیل مدل‌ها استفاده شده است.

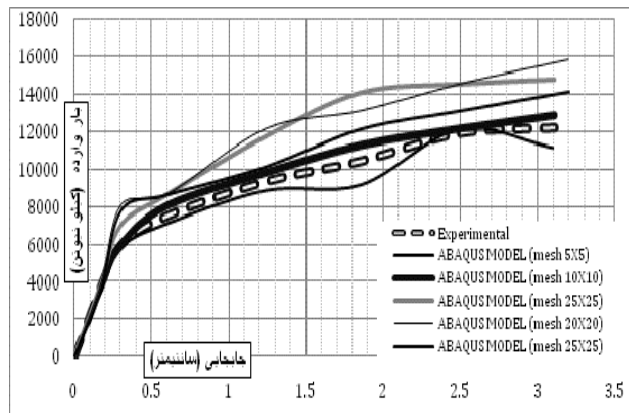
## مطالعه‌ی پاسخ دینامیکی غیرخطی (تاریخچه زمانی)

در تحلیل غیرخطی تاریخچه زمانی، رفتار سازه به صورت جزئی در طول زمان زلزله مشاهده شده است و این تحلیل نشان دهنده رفتار واقعی تر سازه در طول زلزله نسبت به دیگر تحلیل ها می باشد. در این نوع تحلیل، اثر محتوای فرکانسی، ستаб حداکثر و زمان تأثیر زلزله (مدت زمان مؤثر زلزله) به خوبی مشاهده شده است و مشخص می شود که چگونه دو زلزله با ستاب حداکثر یکسان اثر تخریبی متفاوتی را بر سازه دارند و چه سیستم سازه ای توانایی مقاومت و اتلاف

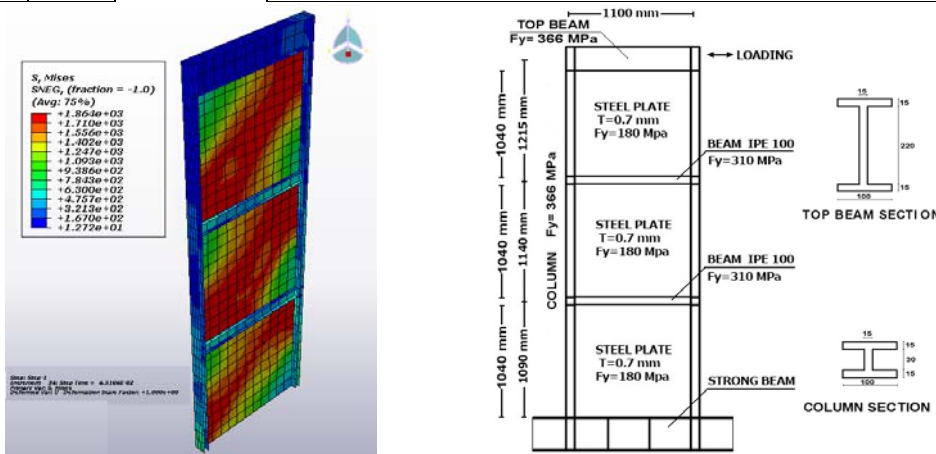
معادلهی حرکت سازه در هر لحظه به صورت

جدول ۳ بادبند معادل و ضخامت ورق برای طبقات مختلف دیوارهای برشی فولادی مورد بررسی

مدل	SPSW-۲۵		SPSW-۱۵		SPSW-۷	
طبقه	ضخامت ورق (mm)	مهاربند معادل	ضخامت ورق (mm)	مهاربند معادل	ضخامت ورق (mm)	مهاربند معادل
۱	۴/۳	۲UNP۲۸۰	۴	۲UNP۲۶۰	۲/۸	۲UNP۲۰۰
۲	۴/۳	۲UNP۲۸۰	۴	۲UNP۲۶۰	۲/۸	۲UNP۲۰۰
۳	۴/۳	۲UNP۲۸۰	۴	۲UNP۲۶۰	۲/۸	۲UNP۲۰۰
۴	۴	۲UNP۲۶۰	۳/۴	۲UNP۲۴۰	۲/۳	۲UNP۱۸۰
۵	۳/۴	۲UNP۲۴۰	۳/۴	۲UNP۲۴۰	۲/۳	۲UNP۱۸۰
۶	۳/۴	۲UNP۲۴۰	۳	۲UNP۲۲۰	۱/۸	۲UNP۱۴۰
۷	۳/۴	۲UNP۲۴۰	۳	۲UNP۲۲۰	۱/۸	۲UNP۱۴۰
۸	۳/۴	۲UNP۲۴۰	۳	۲UNP۲۲۰		
۹	۳	۲UNP۲۲۰	۲/۶	۲UNP۲۰۰		
۱۰	۳	۲UNP۲۲۰	۲/۶	۲UNP۲۰۰		
۱۱	۳	۲UNP۲۲۰	۲/۶	۲UNP۲۰۰		
۱۲	۲/۶	۲UNP۲۰۰	۲	۲UNP۱۶۰		
۱۳	۲/۶	۲UNP۲۰۰	۲	۲UNP۱۶۰		
۱۴	۲/۶	۲UNP۲۰۰	۱/۴	۲UNP۱۲۰		
۱۵	۲/۳	۲UNP۱۸۰	۱/۴	۲UNP۱۲۰		
۱۶	۲/۳	۲UNP۱۸۰				
۱۷	۲/۳	۲UNP۱۸۰				
۱۸	۲	۲UNP۱۶۰				
۱۹	۲	۲UNP۱۶۰				
۲۰	۲	۲UNP۱۶۰				
۲۱	۲	۲UNP۱۶۰				
۲۲	۱/۶	۲UNP۱۴۰				
۲۳	۱/۶	۲UNP۱۴۰				
۲۴	۱/۴	۲UNP۱۲۰				
۲۵	۱/۴	۲UNP۱۲۰				



شکل ۳. نتایج صحبت‌سنجی مدل اجزای محدود و مدل آزمایشگاهی قلهکی [۱۶]



شکل ۲ جزئیات نمونه‌ی آزمایشگاهی قلهکی [۱۶] و مدل اجزای محدود ساخته شده برای صحبت‌سنجی

زمان دوام حرکات شدید در اغلب موارد اثر قابل ملاحظه‌ای بر تغییر شکل‌های غیر الاستیک سازه دارد و به همین دلیل در تعیین میزان انرژی ورودی به سازه، تحلیل خطی و غیرخطی پاسخ سازه و همچنین در روش آماری تعیین پاسخ‌های سازه به زمین‌لرزه کاربرد زیادی دارد. روش‌های متفاوتی در ارتباط با تعیین مدت دوام حرکات شدید با استفاده از خصوصیات و پارامترهای مؤثر شتاب‌نگاشت زمین‌لرزه وجود دارد.

یکی از این روش‌ها، روش تریفوناک و بریدی می‌باشد که مدت تکان قوی را فاصله زمانی تعریف کرده‌اند که در آن به انتگرال مربع شتاب‌ها، موسوم به شدت شتاب‌نگاشت سهم قابل ملاحظه‌ای اضافه می‌شود. آن‌ها فاصله زمانی بین سهم‌های ۵٪ و ۹۵٪ را به عنوان مدت تکان قوی انتخاب کرده‌اند که در این مطالعه نیز از این روش و به‌کمک نرمافزار SeismoSignal [۱۵] مدت زمان مؤثر زلزله‌ها که در شکل (۴) نمایش داده شده است، بدست آمده و در تحلیل تاریخچه زمانی مورد استفاده قرار گرفته است.

### ارزیابی لرزه‌ای دیوارهای برشی فولادی در حوزه‌ی دور و نزدیک گسل براساس تحلیل دینامیکی غیرخطی (تاریخچه زمانی)

بعد از ساخت مدل‌های دارای اتصال تیر به ستون گیردار در نرمافزار ABAQUS، مدل‌ها تحت نگاشت‌های دور و نزدیک گسل، مورد تحلیل دینامیکی غیرخطی قرار گرفت و برش‌ها و نسبت جابه‌جایی‌های مدل‌ها به‌دست آمد. آنالیزها به‌دلیل ماهیت غیرخطی و وجود المان‌های زیاد بسیار زمان بر بود و بر این اساس ابتدا برش پایه‌ی حاصل از نگاشت‌های دور و نزدیک گسل محاسبه شد و سپس نتایج نسبت جابه‌جایی طبقات در حوزه‌ی دور و نزدیک گسل مورد مطالعه قرار گرفت.

### شتاب‌نگاشت‌های مورد استفاده

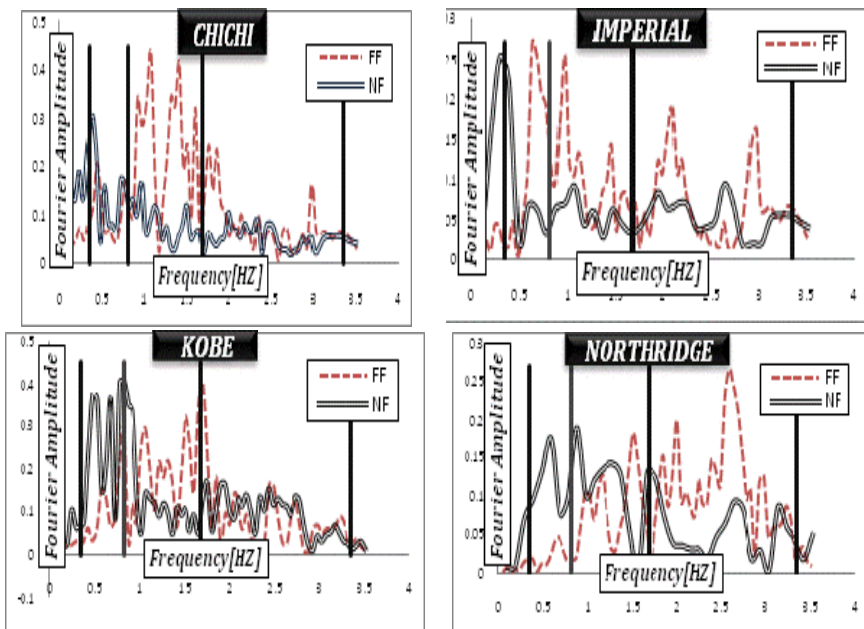
اثر جهت انتشار گسل‌ش موجب ایجاد پالس‌های منفرد با پریود زیاد در ابتدای رکوردهای زلزله‌های حوزه‌ی نزدیک می‌شود. با بررسی رکوردنگاشت‌ها، مشخص شده است که زلزله‌هایی که در رکورد سرعت و جابه‌جایی آن‌ها، پالس‌های شدید و سریع دیده می‌شود، معمولاً نسبت PGV/PGA بالاتر و نسبت PGD/PGV پایین‌تری دارند.

از این‌رو شتاب‌نگاشت‌های مورد استفاده برای حوزه‌ی نزدیک گسل، از چهار نگاشت بر اساس این‌که کدام نگاشت‌ها حداکثر PGV/PGA دارد و در نگاشت سرعت آن‌ها یک یا چند پالس ویژه با دامنه زیاد و دوره تناوب متوسط تا بلند می‌باشد، انتخاب و بر اساس نوع زلزله مربوط به شتاب‌نگاشت نزدیک گسل، شتاب‌نگاشت دور از گسل نیز انتخاب شده و برای بارگذاری مدل‌ها مورد استفاده قرار گرفته است. همه‌ی نگاشت‌ها برای شتاب حداکثر ۳۵g، مقیاس شده‌اند (جدول ۴).

در شکل (۴) طیف دامنه‌ی فوریه‌ی زلزله‌های مورد استفاده در دو حوزه‌ی دور و نزدیک گسل برای مقایسه رسم شده‌اند. لازم به ذکر است که این طیف‌ها در حوزه‌ی فرکانسی سازه‌های مورد بررسی ترسیم شده‌اند.

### مدت تکان قوی زمین

تحقیقات انجام‌شده نشان می‌دهد که مقدار حداکثر شتاب زمین به‌تهاهی، کمیت مناسبی برای تعیین میزان تحریب حرکات زمین‌لرزه نیست. زیرا خسارت‌های ناشی از زلزله به میزان انرژی حرکات زلزله در یک ساختگاه مربوط می‌شود. بر این اساس در تحقیقات اخیر سعی شده است زمان دوام حرکات شدید زلزله براساس میزان انرژی ورودی به سازه تعریف شود و به عنوان یک پارامتر مهم در تعیین پاسخ سیستم مطرح گردد.



شکل ۴ طیف دامنه فوریه به نسبت فرکانس در زلزله‌های حوزه‌ی دور و نزدیک گسل مورد بررسی

جدول ۴ نسبت‌های حرکت حداکثر زمین مربوط به نگاشتهای مورد استفاده نگاشت نزدیک گسل

PGD/PGV	PGV/PGA	PGD (Cm)	PGV (Cm/s)	PGA (Cm/s <sup>2</sup> )	سال	شتابنگاشت
۰/۴۲۹۰۶	۰/۳۱۸۲	۷۵	۱۷۴/۸	۵۴۹/۳۶	۱۹۹۹	Chi Chi - Taiwan
۰/۳۱۶۰۱	۰/۲۵۵۱	۳۴	۱۰۷/۵۹	۴۲۱/۸۳	۱۹۷۹	Imperial Valley - USA
۰/۲۸۱۳۲	۰/۲۱۲۱	۳۵/۷	۱۲۷/۹	۵۹۸/۶۱	۱۹۹۰	Kobe - Japan
۰/۳۹۲۰۷	۰/۱۵۴۲	۲۹/۰۶	۷۴/۱۲	۴۸۰/۶۹	۱۹۹۴	Northridge - USA
نگاشت دور از گسل						
۰/۴۹۶۴	۰/۱۸۱۰۱۰	۱۳/۲۶	۲۶/۷۱	۱۴۷/۱۵	۱۹۹۹	Chi Chi -Taiwan
۰/۴۲۱۶	۰/۱۵۱۱۲۱	۱۵	۳۵/۵۸	۲۳۵/۴۴	۱۹۷۹	Imperial Valley - USA
۰/۴۵۱۹	۰/۱۱۲۷۸۶	۷	۱۵/۴۹	۱۳۷/۳۴	۱۹۹۰	Kobe - Japan
۰/۷۸۲۱	۰/۰۷۴۷۲	۵	۷/۳۳	۹۸/۱	۱۹۹۴	Northridge - USA

بیشترین و کمترین برش پایه در بین نگاشتهای نزدیک گسل از نگاشت زلزله‌های امپریال ولی و کوبه حاصل شده است که به ترتیب برابر با ۱۶۴ و ۱۲۵ تن می‌باشد و اختلافی برابر با ۲۴٪ دارند. در بین نگاشتهای دور از گسل حداکثر و حداقل برش پایه از نگاشت زلزله‌های نژیریج و کوبه حاصل شده است که به ترتیب برابر با ۲۰۶ و ۱۳۳ تن می‌باشد و اختلاف آنها برابر با ۵۴٪ می‌باشد. در مدل ۷ طبقه بیشترین و کمترین برش پایه در بین نگاشتهای نزدیک گسل از نگاشت زلزله‌های کوبه و امپریال ولی حاصل شده است به ترتیب برابر با ۴۱۷ و ۲۱۳ تن می‌باشد و اختلافی برابر با ۹۶٪ دارند. در بین نگاشتهای دور از گسل

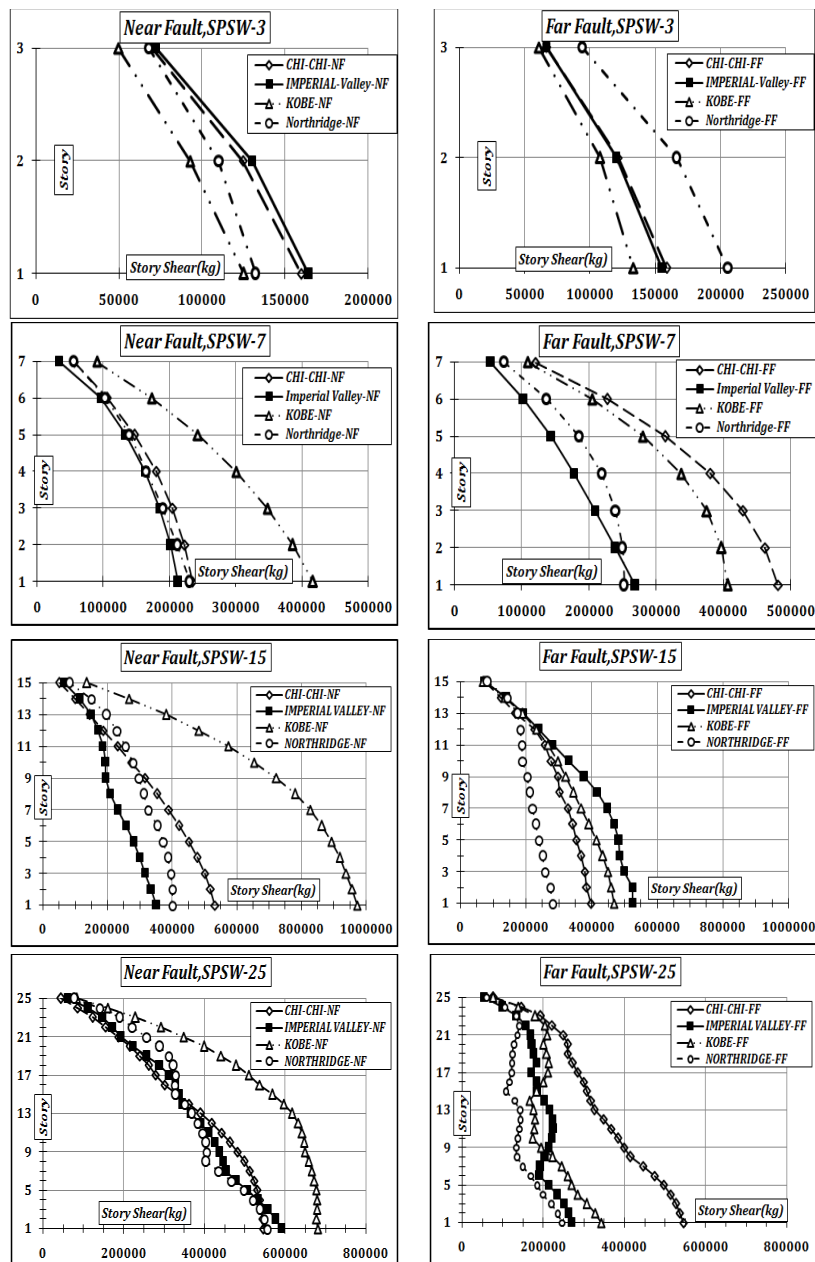
### برش پایه دیوارهای برشی فولادی بر اساس تحلیل دینامیکی غیرخطی

به منظور ارزیابی رفتار لرزه‌ای دیوارهای برشی فولادی در حوزه‌ی دور و نزدیک گسل براساس روش تحلیل دینامیکی غیرخطی برش پایه هر یک از مدل‌ها در حوزه‌ی دور و نزدیک گسل با استفاده از نگاشتهای دور و نزدیک گسل، برای همه‌ی سازه‌ها به دست آورده شد.

شکل (۵) نمودار حداکثر برش طبقات در ارتفاع مدل‌های ۳، ۷، ۱۵ و ۲۵ طبقه را به تفکیک برای نگاشتهای دور و نزدیک گسل نشان می‌دهد. همان‌گونه که مشاهده می‌شود در مدل ۳ طبقه

حداکثر و حداقل برش پایه از نگاشت زلزله‌های امپریال ولی و نزدیج حاصل شده است که به ترتیب برابر با ۵۲۳ و ۲۸۰ تن می‌باشد و اختلافی برابر با ۱۸٪ دارند. در مدل ۲۵ طبقه بیشترین و کمترین برش پایه در بین نگاشت‌های نزدیک گسل از نگاشت زلزله‌های کوبه و چی‌چی حاصل شده است که به ترتیب برابر با ۶۸۰ و ۵۴۵ تن می‌باشد و اختلاف آن‌ها برابر با ۲۵٪ می‌باشد.

حداکثر و حداقل برش پایه از نگاشت زلزله‌های چی‌چی و نزدیج حاصل شده است که به ترتیب برابر با ۴۸۲ و ۲۵۲ تن می‌باشد که اختلاف آن‌ها برابر با ۹۱٪ می‌باشد. در مدل ۱۵ طبقه بیشترین و کمترین برش پایه در بین نگاشت‌های نزدیک گسل از نگاشت زلزله‌های کوبه و امپریال ولی حاصل شده است که به ترتیب برابر با ۹۷۲ و ۳۵۱ تن می‌باشد و اختلاف آن‌ها برابر با ۶۲٪ است اما در بین نگاشت‌های دور از گسل

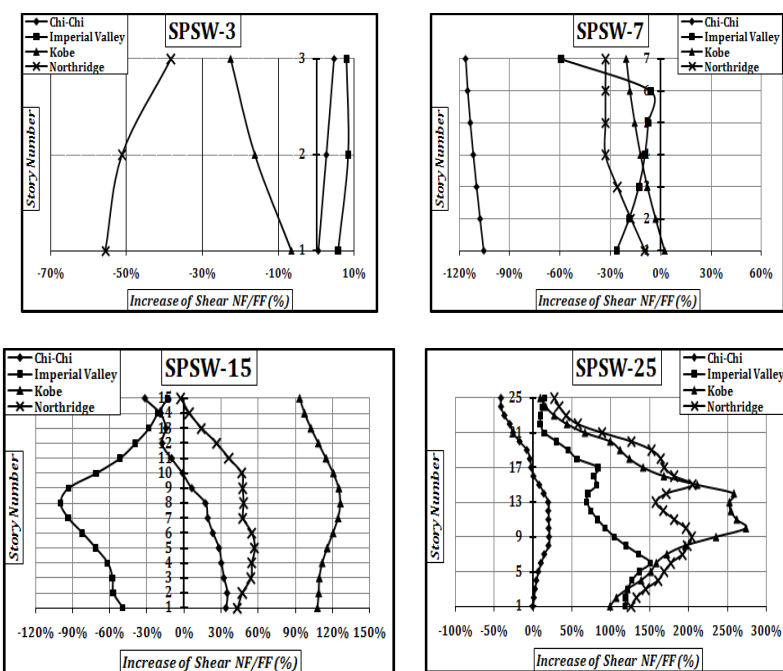


شکل ۵ نمودار حداکثر برش طبقات در ارتفاع مدل‌های ۳، ۷، ۱۵، ۲۵ طبقه به تفکیک برای نگاشت‌های دور و نزدیک گسل

در مدل ۷ طبقه حداکثر برش پایه‌ی حاصل از نگاشت دور از گسل زلزله‌های چی‌چی، امپریال‌ولی و نرثیریج به ترتیب  $10.5\%$ ،  $2.6\%$  و  $9.5\%$  بیشتر از برش پایه‌ی نگاشت نزدیک گسل همین زلزله‌ها می‌باشد. اما حداکثر برش پایه‌ی حاصل از نگاشت نزدیک گسل کوبه  $2.5\%$  بیشتر از برش پایه‌ی حاصل از نگاشت دور از گسل همین زلزله است. در مدل ۱۵ طبقه حداکثر برش پایه حاصل از نگاشت نزدیک گسل چی‌چی، کوبه و نرثیریج به ترتیب  $3.3\%$ ،  $1.07\%$  و  $4.3\%$  بیشتر از برش پایه نگاشت دور از گسل همین زلزله‌ها می‌باشد. در صورتی که حداکثر برش پایه‌ی حاصل از نگاشت دور از گسل امپریال‌ولی  $4.9\%$  بیشتر از برش پایه نگاشت نزدیک گسل همین زلزله می‌باشد. در مدل ۲۵ طبقه حداکثر برش پایه حاصل از نگاشت دور و نزدیک گسل چی‌چی یکسان است و حداکثر برش پایه‌ی حاصل از نگاشت نزدیک گسل زلزله‌های امپریال‌ولی، کوبه و نرثیریج به ترتیب  $11.9\%$ ،  $9.9\%$  و  $12.6\%$  بیشتر از برش پایه نگاشت دور از گسل همین زلزله‌ها می‌باشد.

در حالی‌که در بین نگاشتهای دور از گسل، حداکثر و حداقل برش پایه از نگاشت زلزله‌های چی‌چی و نرثیریج حاصل شده است که به ترتیب برابر با  $545\%$  و  $246\%$  تن می‌باشد و اختلافی برابر با  $122\%$  دارد.

نمودارهای شکل (۶) تغییرات درصد افزایش حداکثر برش ناشی از زلزله‌ی نزدیک گسل به حداکثر برش حاصل از زلزله‌ی دور از گسل با تغییر تعداد طبقات دیوارهای برشی فولادی  $3$ ،  $7$ ،  $15$  و  $25$  طبقه را تحت چهار نگاشت دور و نزدیک گسل نشان می‌دهد. در مدل  $3$  طبقه حداکثر برش پایه حاصل از نگاشت نزدیک و دور از گسل چی‌چی یکسان است و حداکثر برش پایه حاصل از نگاشت نزدیک گسل امپریال‌ولی  $5.7\%$  بیشتر از نگاشت دور از گسل همین زلزله می‌باشد. این در حالی است که حداکثر برش پایه حاصل از نگاشتهای دور از گسل زلزله‌های کوبه و نرثیریج به ترتیب  $6.62\%$  و  $5.5\%$  بیشتر از نگاشت نزدیک گسل همین زلزله‌ها می‌باشد.



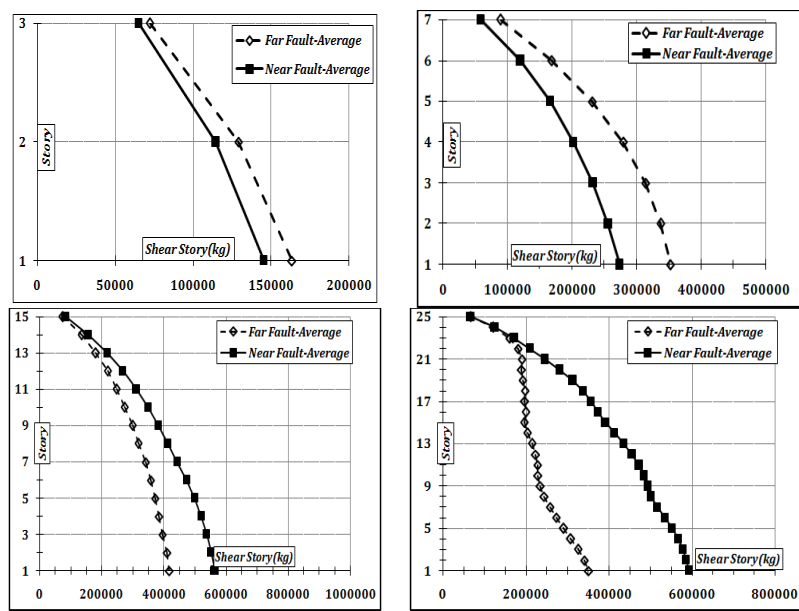
شکل ۶ تغییرات درصد افزایش حداکثر برش نزدیک گسل به حداکثر برش دور از گسل در مدل‌های  $3$ ،  $7$ ،  $15$  و  $25$  طبقه

نزدیک گسل چی‌چی در محدوده‌ی پریود ۰/۲۷ تا ۰/۸۵ ثانیه نسبت برش به وزن سازه در نگاشت دور از گسل نسبت به نزدیک گسل بیشترین مقادیر خود را دارد و با افزایش پریود سازه مقادیر نزدیک گسل بیشتر از دور از گسل می‌شود. در نگاشت دور از نزدیک گسل امپریالولی در محدوده‌ی پریود ۰/۲۷ تا ۱/۱ ثانیه، نسبت برش پایه به وزن سازه در نگاشت دور از گسل نسبت به نزدیک گسل بیشترین مقادیر خود را دارد و با افزایش پریود سازه مقادیر نزدیک گسل بیشتر از نگاشت دور از گسل می‌شود. در نگاشت دور و نزدیک گسل کوبه در محدوده‌ی پریود ۰/۵۱ تا ۱/۳۳ ثانیه نسبت برش پایه به وزن سازه نگاشت نزدیک گسل نسبت به دور از گسل بیشتر می‌باشد. در نگاشت دور و نزدیک گسل نژریج در محدوده‌ی پریود ۰/۶۷ تا ۰/۷۰ ثانیه نسبت برش پایه به وزن سازه نگاشت دور از گسل نسبت به نزدیک گسل بیشترین مقادیر خود را دارد و با افزایش پریود سازه مقادیر نزدیک گسل بیشتر از دور از گسل می‌شود.

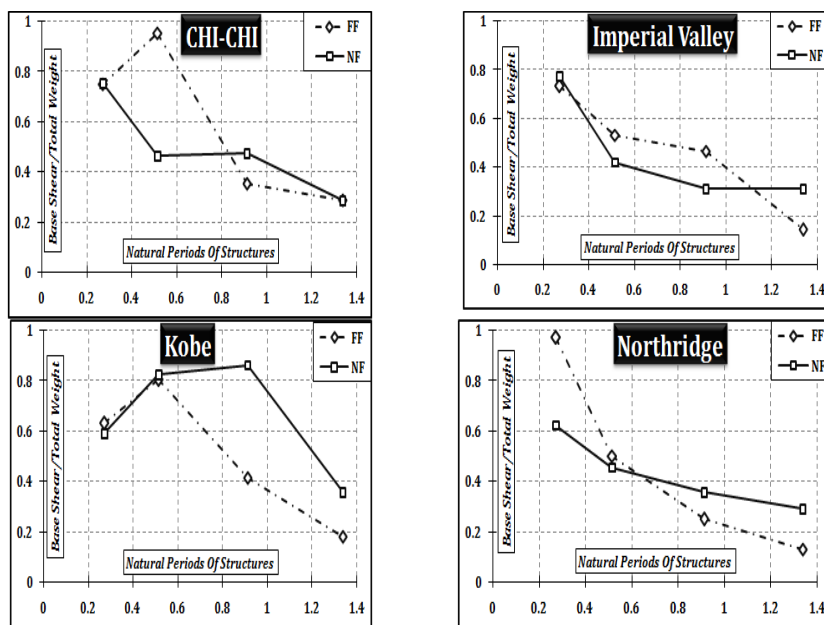
شکل (۷) نمودار میانگین برش طبقات در ارتفاع مدل‌های ۳، ۷، ۱۵ و ۲۵ طبقه را تحت نگاشتهای دور و نزدیک گسل نشان می‌دهد.

با توجه به این نمودارها، در مدل‌های ۳ و ۷ طبقه میانگین برش طبقات حاصل از نگاشتهای دور از گسل در تمامی طبقات بیشتر از میانگین برش طبقات حاصل از گسل از نگاشتهای نزدیک گسل است و میانگین برش پایه به ترتیب ۱۲/۴٪ و ۲۸/۷٪ در حوزه‌ی دور از گسل بیشتر از حوزه‌ی نزدیک گسل می‌باشد، در حالی که در دو مدل ۱۵ و ۲۵ طبقه میانگین برش طبقات حاصل از نگاشتهای نزدیک گسل در تمامی طبقات بیشتر از میانگین برش طبقات حاصل از نگاشتهای دور از گسل می‌باشد و میانگین برش پایه به ترتیب ۳۵٪ و ۶۹٪ در حوزه‌ی نزدیک گسل بیشتر از حوزه‌ی دور از گسل است.

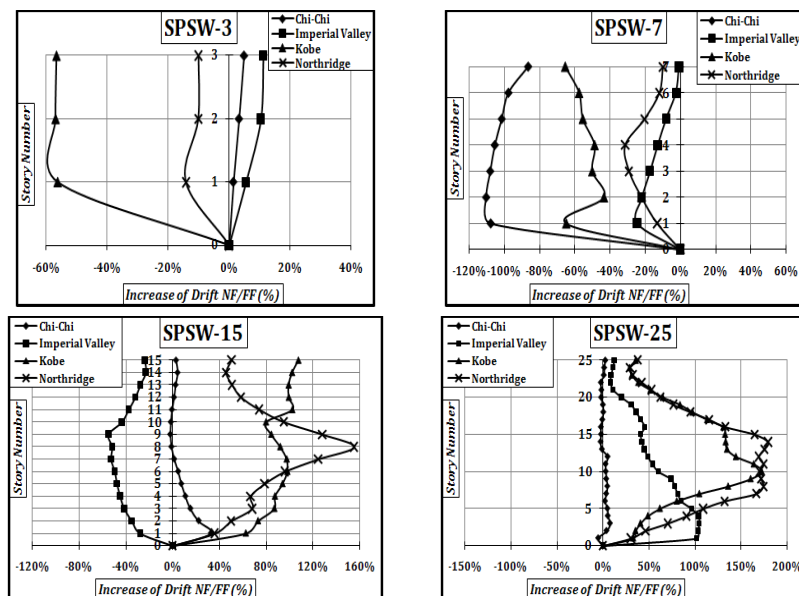
نمودارهای شکل (۸) تغییرات نسبت برش پایه به وزن سازه نسبت به پریود سازه را برای نگاشتهای دور و نزدیک گسل به تفکیک نشان می‌دهد. همان‌گونه که در شکل (۸) مشاهده می‌شود در نگاشت دور و



شکل ۷ نمودار میانگین برش طبقات در ارتفاع مدل‌های ۳، ۷، ۱۵ و ۲۵ طبقه تحت نگاشتهای دور و نزدیک گسل



شکل ۸ نمودار نسبت برش پایه به وزن کل سازه در برابر پریود طبیعی سازه



شکل ۹ تغییرات درصد افزایش حداکثر نسبت جابه‌جایی نگاشت نزدیک گسل به حداکثر نسبت جابه‌جایی حاصل از دور از گسل با تغییر تعداد طبقات

**تغییر مکان و نسبت جابه‌جایی دیوارهای برشی فولادی براساس تحلیل دینامیکی غیرخطی**  
نمودارهای شکل (۹) تغییرات درصد افزایش حداکثر نسبت جابه‌جایی نزدیک گسل به حداکثر نسبت جابه‌جایی حاصل از دور از گسل با تغییر تعداد طبقات دیوارهای برشی فولادی مدل‌های ۳، ۷، ۱۵ و ۲۵ طبقه

بدین ترتیب اثر نگاشت نزدیک گسل بر روی مدل‌های ۳ و ۷ طبقه (با پریود کمتر از ۰/۶۷ ثانیه) بیشتر از دور از گسل است و در سازه‌های ۱۵ و ۲۵ طبقه (با پریود بیشتر از ۰/۶۷ ثانیه) اثر نگاشت‌های نزدیک گسل زلزله‌های چی‌چی و امپریال ولی بیشتر از اثرات نگاشت‌های دور از گسل می‌باشد و در زلزله‌های نرثربیج و کوبه بر عکس است.

به تفکیک برای نگاشتهای دور و نزدیک نشان می‌دهد.

همان‌گونه که مشاهده می‌شود در مدل ۳ طبقه بیشترین و کمترین نسبت جابه‌جایی طبقه‌ی بام در بین نگاشتهای نزدیک گسل از نگاشت زلزله‌های امپریال‌ولی و کوبه حاصل شده است که به ترتیب برابر با  $0.000227\%$  و  $0.000200\%$  می‌باشد و اختلافی برابر با  $3.34\%$  دارند و در بین نگاشتهای دور از گسل حداکثر و حداقل نسبت جابه‌جایی طبقه‌ی بام از نگاشت زلزله‌های نرثیریج و کوبه حاصل شده است که به ترتیب برابر با  $0.00294\%$  و  $0.00178\%$  می‌باشد که اختلافی برابر با  $6.65\%$  دارند. در مدل ۷ طبقه بیشترین و کمترین نسبت جابه‌جایی طبقه‌ی بام در بین نگاشتهای نزدیک گسل از نگاشت زلزله‌های کوبه ژاپن و امپریال‌ولی حاصل شده است که به ترتیب برابر با  $0.00531\%$  و  $0.00357\%$  می‌باشد و اختلاف آن‌ها برابر با  $4.49\%$  می‌باشد. در بین نگاشتهای دور از گسل حداکثر و حداقل نسبت جابه‌جایی طبقه‌ی بام از نگاشت زلزله‌های کوبه و امپریال‌ولی حاصل شده است که به ترتیب برابر با  $0.00359\%$  و  $0.00359\%$  می‌باشد که اختلافی برابر با  $0.00088\%$  دارند.

در مدل ۱۵ طبقه بیشترین و کمترین نسبت جابه‌جایی طبقه‌ی بام در بین نگاشتهای نزدیک گسل از نگاشت زلزله‌های کوبه و امپریال‌ولی حاصل شده است که به ترتیب برابر با  $0.01379\%$  و  $0.00357\%$  است و اختلاف آن‌ها برابر با  $20.2\%$  می‌باشد. این در حالی است که در بین نگاشتهای دور از گسل حداکثر و حداقل نسبت جابه‌جایی طبقه‌ی بام از نگاشت زلزله‌های کوبه و نرثیریج حاصل شده است که به ترتیب برابر با  $0.0066\%$  و  $0.00403\%$  می‌باشد و اختلافی برابر با  $6.65\%$  دارند. در مدل ۲۵ طبقه بیشترین و کمترین نسبت جابه‌جایی طبقه‌ی بام در بین نگاشتهای نزدیک گسل از نگاشت زلزله‌های کوبه و امپریال‌ولی حاصل شده است که به ترتیب برابر با  $0.00797\%$  و  $0.0052\%$  می‌باشد و اختلاف آن‌ها برابر با  $5.53\%$  می‌باشد. در حالی

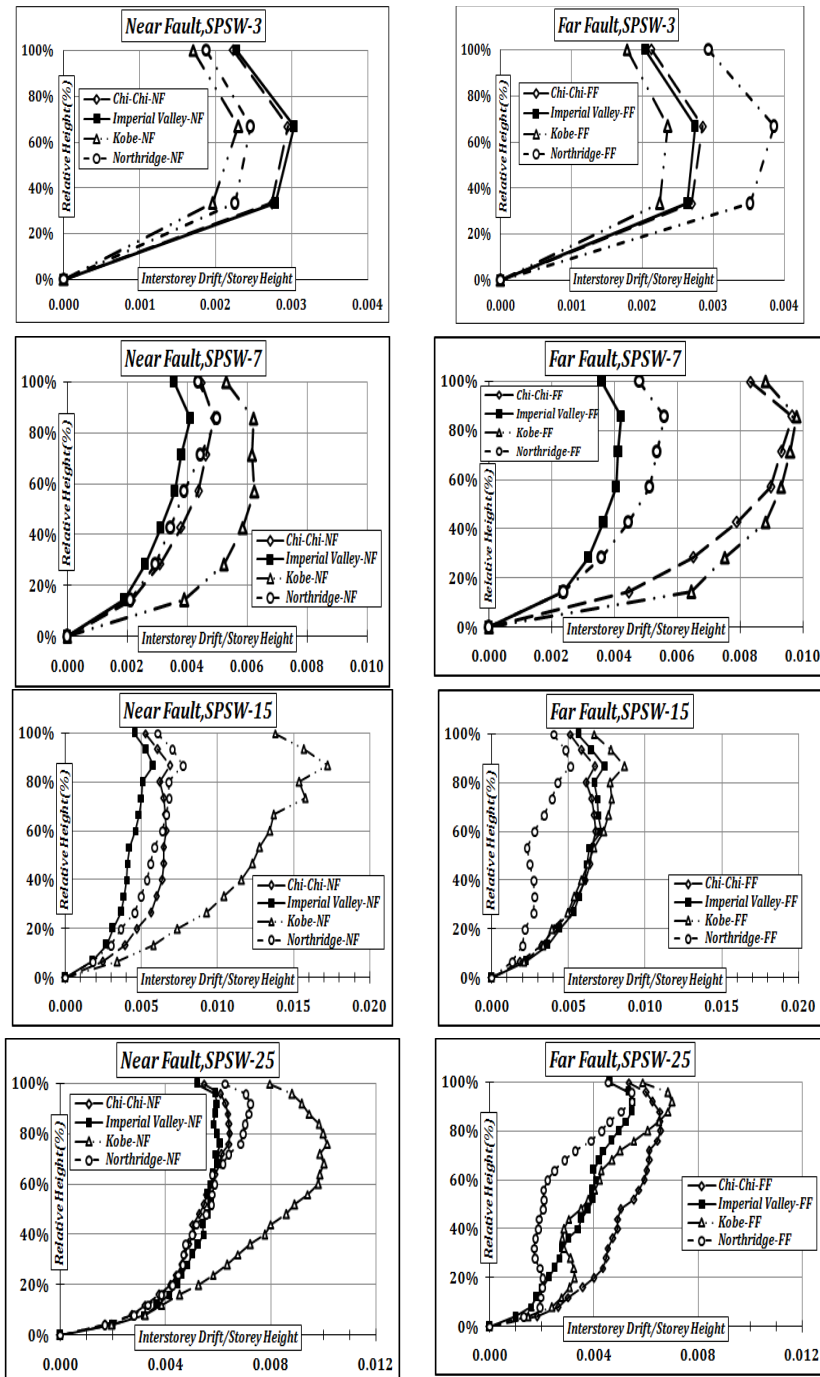
را تحت چهار نگاشت دور و نزدیک گسل نشان می‌دهد. همان‌گونه که در این نمودارها مشاهده می‌شود در مدل ۳ طبقه، حداکثر نسبت جابه‌جایی طبقه‌ی بام حاصل از نگاشتهای نزدیک گسل چی‌چی و امپریال ولی به ترتیب  $5.05\%$  و  $11.2\%$  بیشتر از حداکثر نسبت جابه‌جایی طبقه‌ی بام حاصل از نگاشت دور از گسل همین زلزله‌ها می‌باشد. این در حالی است که حداکثر نسبت جابه‌جایی طبقه‌ی بام حاصل از نگاشتهای دور از گسل کوبه و نرثیریج به ترتیب  $5.05\%$  و  $5.07\%$  بیشتر از حداکثر نسبت جابه‌جایی طبقه‌ی بام حاصل از نگاشت نزدیک گسل همین زلزله‌ها می‌باشد. در مدل ۷ طبقه، حداکثر نسبت جابه‌جایی طبقه‌ی بام حاصل از نگاشتهای دور از گسل چی‌چی، کوبه و نرثیریج به ترتیب  $8.6\%$ ،  $6.5\%$  و  $10\%$  بیشتر از حداکثر نسبت جابه‌جایی طبقه‌ی بام حاصل از نگاشت نزدیک گسل همین زلزله‌ها می‌باشد. حداکثر نسبت جابه‌جایی طبقه‌ی بام حاصل از نگاشت دور و نزدیک گسل امپریال‌ولی تقریباً برابر می‌باشند (اختلاف در حدود  $1\%$ )، ولی در سایر طبقات حداکثر نسبت جابه‌جایی حاصل از نگاشت دور از گسل بیشتر می‌باشد.

در مدل ۱۵ طبقه حداکثر نسبت جابه‌جایی طبقه‌ی بام حاصل از نگاشتهای نزدیک گسل چی‌چی، کوبه و نرثیریج به ترتیب  $3.07\%$ ،  $10.7\%$  و  $5.0\%$  بیشتر از حداکثر نسبت جابه‌جایی طبقه‌ی بام حاصل از نگاشت دور از گسل همین زلزله‌ها می‌باشد. حداکثر نسبت جابه‌جایی طبقه‌ی بام حاصل از نگاشت دور از گسل امپریال‌ولی،  $24\%$  بیشتر از حداکثر نسبت جابه‌جایی طبقه‌ی بام حاصل از نگاشت نزدیک گسل همین زلزله می‌باشد.

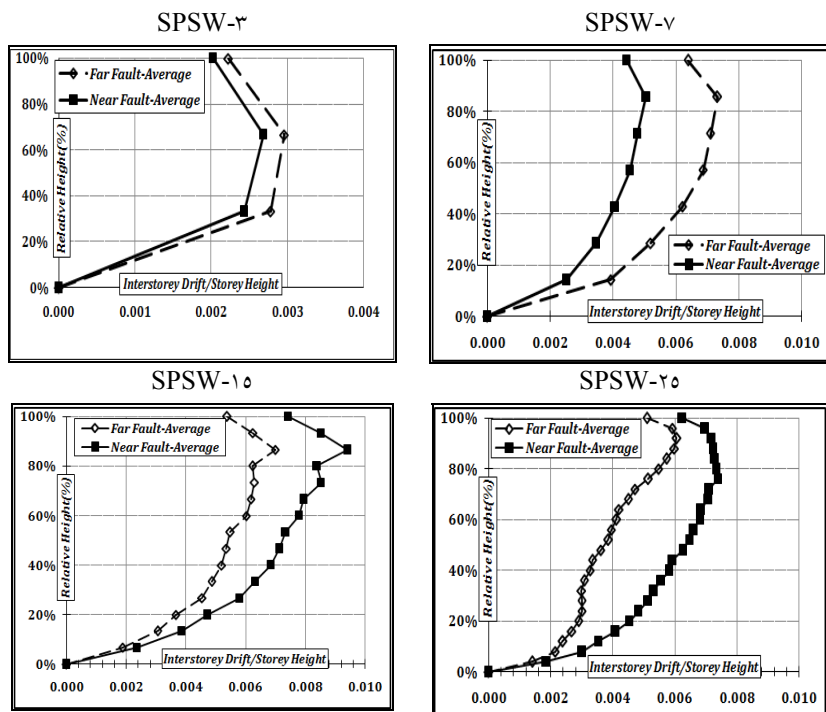
در مدل ۲۵ طبقه حداکثر نسبت جابه‌جایی طبقه‌ی بام حاصل از نگاشتهای نزدیک گسل چی‌چی، امپریال‌ولی، کوبه و نرثیریج به ترتیب  $3.12\%$ ،  $3.35\%$  و  $3.28\%$  بیشتر از حداکثر نسبت جابه‌جایی طبقه‌ی بام حاصل از نگاشت دور از گسل همین زلزله‌ها می‌باشد. نمودارهای شکل (۱۰) حداکثر نسبت جابه‌جایی طبقات در ارتفاع مدل‌های ۱۵، ۷، ۳ و ۲۵ طبقه را

۰/۰۰۴۵۵ و ۰/۰۰۰۵۹ می باشد و اختلاف بین بیشترین و کمترین نسبت جابه جایی طبقه بام در بین نگاشتهای دور از گسل ۲۹٪ می باشد.

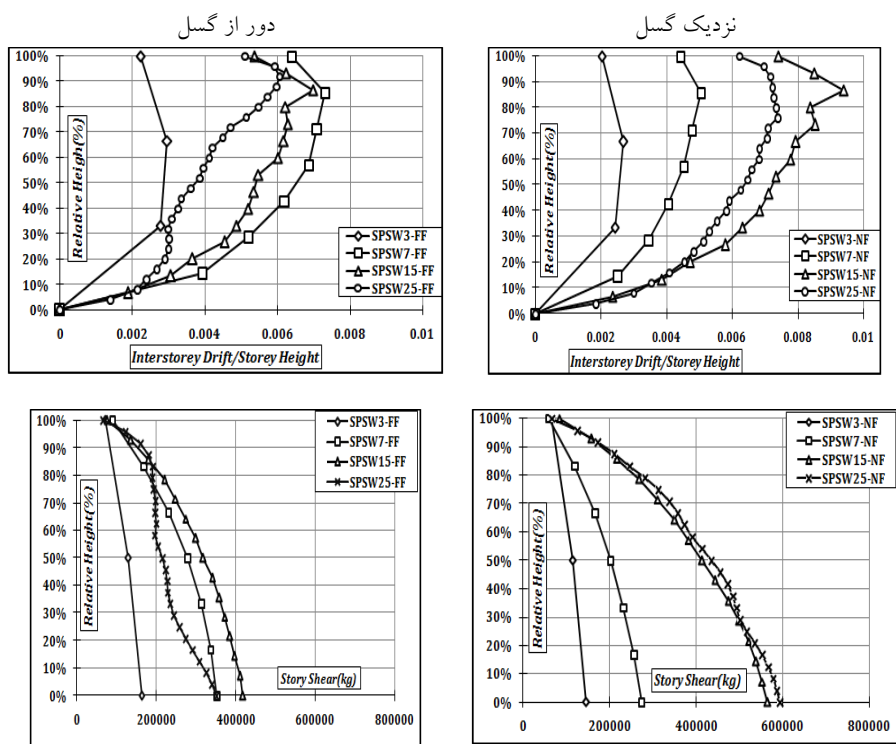
که در بین نگاشتهای دور از گسل حداقل و حداقل نسبت جابه جایی طبقه بام از نگاشت زلزله های کوبه و نژدیج حاصل شده است که به ترتیب برابر با



شکل ۱۰ حداقل نسبت جابه جایی طبقات در ارتفاع مدل های ۳، ۷، ۱۵ و ۲۵ طبقه به تفکیک برای نگاشتهای دور و نزدیک



شکل ۱۱ نمودارهای میانگین نسبت جایه‌جایی طبقات در ارتفاع مدل‌های ۳، ۵، ۱۵ و ۲۵ طبقه برای نگاشتهای دور و نزدیک گسل



شکل ۱۲ توزیع ارتفاعی برش و نسبت جایه‌جایی مدل‌ها

نمی‌توان گفت که با افزایش ارتفاع نسبت جابه‌جایی نیز افزایش پیدا می‌کند و همان‌گونه که مشاهده می‌شود از مدل ۷ طبقه به بعد نسبت جابه‌جایی در حوزه‌ی دور از گسل حالت کاهشی پیدا نموده است و این بدان معناست که در حوزه‌ی نزدیک با افزایش ارتفاع مدل (از ۴۸ متر بیش‌تر) نسبت جابه‌جایی طبقات کاهش پیدا می‌کند.

با توجه به این نموادرها تا ۷۶٪ ارتفاع سازه‌ی ۷ طبقه و تا ۸۳٪ ارتفاع سازه‌ی ۱۵ طبقه برش طبقات بیش از سازه‌ی ۲۵ طبقه در حوزه‌ی دور از گسل می‌باشد. هم‌چنین از ۸٪ ارتفاع به بعد نسبت جابه‌جایی طبقات سازه‌ی ۷ طبقه بیش از نسبت جابه‌جایی طبقات سازه‌ی ۱۵ طبقه است و از ۱۰٪ ارتفاع به بعد نسبت جابه‌جایی طبقات سازه‌ی ۱۵ طبقه بیش از نسبت جابه‌جایی طبقات سازه‌ی ۲۵ طبقه در حوزه‌ی دور از گسل می‌باشد. در حوزه‌ی نزدیک گسل از ۱۵ درصد ارتفاع به بعد نسبت جابه‌جایی طبقات سازه‌ی ۲۵ طبقه بیش از نسبت جابه‌جایی طبقات سازه‌ی ۱۵ طبقه می‌باشد.

### خلاصه و نتیجه‌گیری

رفتار دینامیکی غیرخطی چهار مدل ۳، ۷، ۱۵ و ۲۵ طبقه دیوار برشی فولادی با ورق نازک دارای اتصال تیر به ستون صلب که مطابق با آیین‌نامه‌ی AISC-۲۰۰۵ طراحی شده بودند، مورد بررسی قرار گرفت. نمونه‌ها تحت چهار نگاشت دور و نزدیک گسل چی‌چی، امپریال ولی، کوبه و نرثیریج آنالیز شد و پارامترهای مختلف پاسخ سازه تحت نگاشت‌های دور و نزدیک گسل مورد ارزیابی قرار گرفت.

بر این اساس هنگامی که سازه در معرض حرکات حوزه‌ی نزدیک قرار می‌گیرد نیازهای سازه با توجه به ارتفاع مدل نسبت به حرکات حوزه‌ی دور از گسل افزایش می‌یابد. برش پایه در حوزه‌ی دور از گسل در

شکل (۱۱) نموادرهای میانگین نسبت جابه‌جایی طبقات در ارتفاع مدل‌های ۳، ۷، ۱۵ و ۲۵ طبقه را برای نگاشت‌های دور و نزدیک گسل نشان می‌دهد. با توجه به این نموادرها، در مدل‌های ۳ و ۷ طبقه میانگین نسبت جابه‌جایی حاصل از نگاشت‌های دور از گسل در تمامی طبقات بیش‌تر از میانگین نسبت جابه‌جایی حاصل از نگاشت‌های نزدیک گسل است به‌گونه‌ای که میانگین نسبت جابه‌جایی طبقه‌ی بام به‌ترتیب ۱۰٪ و ۴۴٪ در حوزه‌ی دور از گسل بیش‌تر از حوزه‌ی نزدیک گسل می‌باشد. در حالی که در دو مدل ۱۵ و ۲۵ طبقه میانگین نسبت جابه‌جایی حاصل از نگاشت‌های نزدیک گسل در تمامی طبقات بیش‌تر از میانگین نسبت جابه‌جایی حاصل از نگاشت‌های دور از گسل می‌باشد. به‌طوری که میانگین نسبت جابه‌جایی طبقه‌ی بام به‌ترتیب ۸۴٪ و ۲۲٪ در حوزه‌ی نزدیک گسل بیش‌تر از حوزه‌ی دور از گسل می‌باشد.

### توزيع ارتفاعی پارامترهای پاسخ سازه

برای بررسی اثر ارتفاع بر پارامترهای پاسخ سازه از ارتفاع نسبی استفاده شده است تا بتوان پارامترهای پاسخ سازه‌ای هر چهار سازه را در یک نموادر رسم نمود و اثر تغییر ارتفاع سازه را در حوزه‌ی دور و نزدیک گسل بررسی نمود. شکل (۱۲) توزیع ارتفاعی میانگین حداکثر برش و نسبت جابه‌جایی مدل‌ها را نشان می‌دهد.

همان‌گونه که در این نموادرها مشاهده می‌شود برش و نسبت جابه‌جایی ناشی از تحلیل دینامیکی غیرخطی تحت نگاشت‌های نزدیک گسل با افزایش ارتفاع مدل افزایش می‌یابد. ولی از مدل ۱۵ طبقه به بعد، نسبت جابه‌جایی حالت کاهشی به خود گرفته است. برش ناشی از نگاشت‌های دور از گسل نیز همانند نگاشت‌های نزدیک گسل با افزایش ارتفاع سازه افزایش پیدا می‌کند. اما در مورد نسبت جابه‌جایی سازه

که با افزایش ارتفاع سازه مقادیر نسبت جابه‌جایی در حوزه‌ی نزدیک گسل افزایش پیدا می‌کند. به‌گونه‌ای که حداقل این مقادیر در ۳۰ تا ۸۵ درصد ارتفاع سازه رخ می‌دهد. هم‌چنین در حوزه‌ی دور از گسل با افزایش ارتفاع، نسبت جابه‌جایی در طبقات کاهش می‌یابد.

با توجه به نتایج مذکور، در مجموع می‌توان نتیجه گرفت که در سازه‌های کوتاه و میان‌مرتبه دیوار برپشی فولادی با ورق نازک دارای اتصال تیر به ستون صلب (تا پریود ۰/۶۷ ثانیه) اثر حرکات حوزه‌ی دور از گسل بر پارامترهای پاسخ، بیش‌تر از اثر حرکات حوزه‌ی نزدیک گسل است و در سازه‌های بلند مرتبه (با پریود بزرگ‌تر از ۰/۶۷ ثانیه) اثر حرکات نزدیک گسل بر پارامترهای پاسخ سازه بیش‌تر از حرکات حوزه‌ی دور از گسل می‌باشد. این مسئله به‌دلیل بیش‌تر بودن محتوای فرکانسی نگاشتهای دور از گسل در محدوده‌ی پریود کوتاه و بر عکس محتوای فرکانسی بیش‌تر حوزه‌ی نزدیک گسل در محدوده‌ی پریود بلند می‌باشد و باید در طراحی دیوار برپشی فولادی با ورق نازک دارای اتصال تیر به ستون صلب مدنظر قرار گیرد. نه تنها شتاب بیشینه‌ی بیش‌تر زلزله‌های نزدیک گسل آن‌ها را از زلزله‌های دور از گسل تمایز می‌کند بلکه ماهیت ارتعاش این زمین‌لرزه‌ها نیز تأثیر مخرب خود را در سازه‌های بلند مرتبه نشان می‌دهد. بر این اساس، تحلیل سازه‌های دیوار برپشی فولادی بلند مرتبه (با پریود بزرگ‌تر از ۰/۶۷ ثانیه) تحت نگاشتهای نزدیک گسل به مرتب با اهمیت‌تر از سازه‌های کوتاه‌تر است.

محدوده‌ی نسبتاً بزرگی نسبت به برش پایه‌ی حوزه‌ی نزدیک گسل نوسان می‌کند، به‌طوری که در حوزه‌ی نزدیک گسل برش پایه‌ی بیش‌تر نگاشتهای نسبتاً نزدیک به یکدیگر است اما در حوزه‌ی دور از گسل برش پایه‌ی مدل‌ها اختلاف زیادی می‌توانند داشته باشند.

در مدل ۳ طبقه میانگین پارامترهای پاسخ سازه (برش و نسبت جابه‌جایی) در حوزه‌ی دور از گسل ۱۱ درصد بیش‌تر از حوزه‌ی نزدیک گسل می‌باشد. در مدل ۷ طبقه میانگین پارامترهای پاسخ سازه (برش و نسبت جابه‌جایی) در حوزه‌ی دور از گسل ۳۷ درصد بیش‌تر از حوزه‌ی نزدیک گسل می‌باشد. در سازه‌ی ۱۵ طبقه میانگین پارامترهای پاسخ سازه (برش و نسبت جابه‌جایی) در حوزه‌ی نزدیک گسل ۶۰ درصد بیش‌تر از پاسخ حوزه‌ی دور از گسل است و در سازه‌ی ۲۵ طبقه میانگین پارامترهای پاسخ سازه (برش و نسبت جابه‌جایی) در حوزه‌ی نزدیک گسل ۶۴ درصد بیش‌تر از حوزه‌ی دور از گسل می‌باشد.

بررسی‌ها نشان می‌دهد که با افزایش ارتفاع سازه مقادیر برش طبقات در حوزه‌ی نزدیک گسل افزایش می‌یابد، اما در حوزه‌ی دور از گسل با افزایش ارتفاع بیش از ۴۸ متر در کمتر از ۷۵٪ ارتفاع سازه مقادیر برش کاهش می‌یابد؛ به عنوان مثال برش موجود در ۵۰ درصد ارتفاع سازه‌ی ۲۵ طبقه ۲۹٪ از مدل ۷ طبقه و ۴۸٪ از مدل ۱۵ طبقه کمتر می‌باشد.

با افزایش ارتفاع سازه اختلاف بین تغییر مکان‌های حوزه‌ی دور و نزدیک گسل بیش‌تر می‌گردد، به‌طوری

## مراجع

1. Anderson, J. and Bertero, V.; "Uncertainties in Establishing Design Earthquake", *Journal of Structural Engineering*, ASCE, Vol. 113 No. 8, pp. 1709-1724, (1987).
2. Hall, J. F.; "Seismic Response of Steel Frame Buildings to Near-Fault Ground Motions", A report of the California Institute of Technology, Report No.EERL 97-05, Pasadena, California, (1997).

3. Alavi, B. and Krawinkler, H.; "Effects of Near-Fault Ground Motions on Frame Structures", A report of The John A. Blume Earthquake Engineering Center Department of Civil and Environmental engineering Stanford University, California, Report No. 138, (2001).
4. Timler, P. A. and Kulak, G. L.; "Experimental Study of Steel Plate Shear Walls", Structural Engineering Report No. 114, Department of Civil Engineering, University of Alberta, Edmonton, Alberta, Canada, (1983).
5. Sabouri-Ghom, S. and Roberts, T. M.; "Nonlinear Dynamic Analysis of Thin Steel Plate Shear Walls", Computers and Structures, Vol. 39(1/2), pp. 121–127, (1991).
6. Sabouri-Ghom, S. and Roberts, T. M.; "Nonlinear Dynamic Analysis of Steel Plate Shear Walls including Shear and Bending Deformations", Engineering Structures Vol. 14, No. 5, pp. 309–317, (1992).
7. Roberts, T. M. and Sabouri-Ghom, S.; "Hysteretic Characteristics of Unstiffened Plate Shear Panels", Thin Walled Structures, Vol. 12, pp. 145–162, (1991).
8. Roberts, T. M. and Sabouri-Ghom, S.; "Hysteretic Characteristics of Unstiffened Perforated Steel Plate Shear Panels", Thin Walled Structures, Vol. 14, pp. 139–151, (1992).
9. Rezai, M.; "Seismic Behavior of Steel Plate Shear Walls by Shake Table Testing", Ph.D Dissertation, Department of Civil Engineering, University of British Columbia, Vancouver, Canada, (1999).
10. Lubell, A.S., Prion, H.G.L., Ventura, C.E., Rezai, M.; "Unstiffened Steel Plate Shear Wall Performance under Cyclic Loading", ASCE, *Journal of Structural Engineering*, pp. 453-460, April (2000).
11. Astaneh-Asl, A. and Zhao, Q.; "Cyclic Behavior of Steel Shear Wall Systems", Proceedings, *Annual Stability Conference*, Structural Stability Research Council, April, (2002).
12. Anjan K. Bhowmick, Robert G. Driver and Gilbert Y. Grondin, "Seismic analysis of steel plate shear walls considering strain rate and P\_delta effects", *Journal of Constructional Steel Research*, Vol. 65, pp. 1149\_1159, ScienceDirect, (2009).
13. Canadian Standards Association, CAN/CSA-S16-01. Limit States Design of Steel Structures. (Ontario, Canada): CSA, (2001).
14. American Institute of Steel Construction (AISC), Seismic Provisions for Structural Steel Building. Chicago (IL, USA): AISC, (2005).
15. Seismosignal, Ver. 2.1, University of Berkley California, USA, (2001).
۱۶. قلچکی، مجید، "بررسی رفتار دیوارهای برشی فولادی شکل پذیر و اثر نوع اتصال تیر به ستون بر آنها"، رساله‌ی دکتری سازه، دانشکده‌ی مهندسی عمران دانشگاه صنعتی خواجه نصیرالدین طوسی، (۱۳۸۶).
۱۷. سجادی، رامین و صبوری، سعید، "تعیین ممان اینرسی لازم برای جلوگیری از کمانش کلی در دیوارهای برشی فولادی با سخت کننده با استفاده از روابط تحلیلی"، ششمین کنفرانس بین‌المللی زلزله‌شناسی و مهندسی زلزله، ۲۶ تا ۲۸ اردیبهشت (۱۳۹۰).
۱۸. مبحث ششم مقررات ملی ساختمان ایران (بارهای وارد بر ساختمان)، (۱۳۸۸).

۱۹. آیین‌نامه‌ی طراحی ساختمان‌ها در برابر زلزله، استاندارد ۲۸۰۰، ویرایش ۳، مرکز تحقیقات ساختمان و مسکن، (۱۳۸۴).
۲۰. مبحث دهم مقررات ملی ساختمان ایران (طرح و اجرای ساختمان‌های فولادی)، (۱۳۸۸).